

**PROBLEMAS VARIACIONAIS NÃO CLÁSSICOS, ELEMENTOS FINITOS MISTOS  
E APLICAÇÕES AO TRATAMENTO DE MEIOS INCOMPRESSÍVEIS**

Vitoriano Ruas  
Departamento de Informática  
PUC/RJ, Rio de Janeiro, Brasil

**RESUMO**

Partindo de um tratamento unificado e abrangente de problemas variacionais sob o ponto de vista matemático, baseado no conceito de fraca coercividade (ou condição inf-sup), chega-se às condições que garantem a boa escolha de métodos de elementos finitos para o cálculo de campos físicos descritos por equações diferenciais parciais.

Uma ênfase especial é dada às formulações mistas, as quais não correspondem a problemas coercivos ou positivos em geral. Várias aplicações de elementos finitos mistos estudados e usados atualmente para tais problemas são considerados, notadamente as relativas à simulação do comportamento de meios incompressíveis, e ilustrações de resultados numéricos são apresentadas.

**1. TEORIA CLÁSSICA DOS PROBLEMAS VARIACIONAIS**

Seja o problema variacional linear

$$(P) \quad \left\{ \begin{array}{l} \text{Encontrar } u \in V \text{ tal que} \\ a(u, v) = L(v) \quad \forall v \in V, \text{ onde} \end{array} \right.$$

- (i)  $V$  é um espaço de Hilbert de norma  $\|\cdot\|_V$   
(ii)  $a: V \times V \rightarrow \mathbb{R}$  é uma forma bilinear contínua, isto é,

$$\|a\| = \sup_{\substack{u, v \in V \\ u, v \neq 0}} \frac{|a(u, v)|}{\|u\|_V \|v\|_V} < \infty$$

- (iii)  $L \in V'$ , o dual topológico de  $V$ , isto é,  $L: V \rightarrow \mathbb{R}$  é uma forma linear contínua sobre  $V$ , ou seja:

$$\|L\| = \sup_{\substack{v \in V \\ v \neq 0}} \frac{|L(v)|}{\|v\|_V} < \infty$$

Nesse quadro, aplica-se o resultado seguinte amplamente difundido na literatura.

Teorema de Lax-Milgram (1954): Se sob as hipóteses (i), (ii) e (iii),  $a$  é também coerciva, isto é,

$$(iv) \exists \alpha > 0 \text{ tal que } a(v, v) \geq \alpha \|v\|_V^2 \quad \forall v \in V$$

então o problema  $(P)$  tem uma solução única.  $\square$

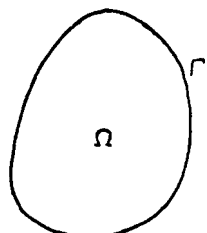
A hipótese de coercividade (iv) (juntamente com (i), (ii) e (iii)), é efetivamente satisfeita num sem número de problemas físicos, como por exemplo:

Equação do calor estacionária: Seja um corpo que ocupa uma região  $\Omega$  de  $\mathbb{R}^n$ . Dada uma fonte de calor  $f$  e um coeficiente térmico  $c \geq 0$  do corpo, deseja-se encontrar sua temperatura  $u$  tal que:

$$\begin{cases} -\Delta u + cu = f \text{ em } \Omega \\ u = 0 \text{ sobre } \Gamma \end{cases}$$

Problema variacional associado:

$$(P_I) \quad \begin{cases} \text{Encontrar } u \in V \text{ tal que} \\ a(u, v) = \int_{\Omega} (\bar{\Delta}u \cdot \bar{\Delta}v + cuv) = \int_{\Omega} fv = L(v) \quad \forall v \in V \end{cases}$$



onde

$$V = H_0^1(\Omega) = \{v / \int_{\Omega} |\nabla v|^2 < \infty \text{ e } v = 0 \text{ sobre } \Gamma\}$$

As hipóteses (i), (ii) e (iii) são trivialmente satisfeitas por  $V$ ,  $\underline{a}$  e  $\underline{L}$  se  $\|v\|_V = \left[ \int_{\Omega} |\vec{\nabla} v|^2 \right]^{\frac{1}{2}}$   
e a coercividade de  $\underline{a}$  ocorre se  $c \geq 0$ , isto é,

$$a(v, v) \geq a \int_{\Omega} |\vec{\nabla} v|^2 \quad \text{com } a=1.$$

Entretanto a coercividade não se aplicaria no mesmo exemplo se:

19)  $c < 0$ , com  $|c|$  suficientemente grande.

No entanto o problema (P) tem solução única, desde que  $c$  não seja um valor próprio do operador  $\Delta$ , isto é:

$$c \neq \lambda \quad \text{onde } \lambda \text{ é tal que} \quad \begin{cases} \Delta u = \lambda u & \text{em } \Omega \\ u = 0 & \text{sobre } \Gamma \end{cases}$$

Observe-se que qualquer autovalor de  $\Delta$  é negativo

20) Para  $c = 0$  escreveremos a equação do calor sob a forma

$$\begin{cases} \vec{p} = \vec{\nabla} u & \text{em } \Omega \\ -\operatorname{div} \vec{p} = f & \text{em } \Omega \\ u = 0 & \text{sobre } \Gamma \end{cases}$$

o que dá o problema variacional misto:

$$\begin{cases} \text{Encontrar } \vec{p} \in X \text{ e } u \in M \text{ tais que} \\ a(\vec{p}, \vec{q}) + b(u, \vec{q}) = 0 \quad \forall \vec{q} \in X \\ b(v, \vec{p}) = G(v) \quad \forall v \in M \end{cases}$$

onde  $a(\vec{p}, \vec{q}) = \int_{\Omega} \vec{p} \cdot \vec{q}$ ,  $b(u, \vec{q}) = \int_{\Omega} u \operatorname{div} \vec{q}$  e  $G(v) = \int_{\Omega} fv$

$$X = \{ \vec{p} / \int_{\Omega} (\vec{p}^2 + |\operatorname{div} \vec{p}|^2) < \infty \} \text{ e } M = L^2(\Omega) = \{v / \int_{\Omega} v^2 < \infty\}$$

$$\|\vec{p}\|_X = \left[ \int_{\Omega} (\vec{p}^2 + |\operatorname{div} \vec{p}|^2) \right]^{\frac{1}{2}} \quad \|v\|_M = \left[ \int_{\Omega} v^2 \right]^{\frac{1}{2}}$$

Observe-se que o problema (Q) pode-se ser colocado na forma (P) sobre o espaço  $V = X \times M$ , isto é:

$$(P_2) \quad \begin{cases} \text{Encontrar } (\vec{p}, u) \in X \times M \text{ tal que} \\ a((\vec{p}, u), (\vec{q}, v)) = L((\vec{q}, v)) \quad \forall (\vec{q}, v) \in X \times M \end{cases}$$

onde

$$a((\vec{p}, u), (\vec{q}, v)) = \int_{\Omega} \vec{p} \cdot \vec{q} + \int_{\Omega} u \operatorname{div} \vec{q} + \int_{\Omega} v \operatorname{div} \vec{p} \quad e$$
$$L((\vec{q}, v)) = \int_{\Omega} f v$$

A forma  $a$  visivelmente não é coerciva sobre  $V$  porque  $a((0, u), (0, u)) = 0 \quad \forall u$ , mas  $\| (0, u) \|_V = \| u \|_M \neq 0$ ,  $u \neq 0$

## 2. TEOREMA DE LAX-MILGRAM GENERALIZADO

A coercividade da forma bilinear  $a$  é apenas uma condição suficiente para a boa colocação de (P).

A condição necessária e suficiente é dada no teorema seguinte:

Teorema (Lax-Milgram generalizado): Sob as hipóteses (i), (ii) e (iii), a condição necessária e suficiente para que (P) tenha solução única é que  $a$  seja fracamente coerciva, isto é:

$$(iv) \quad \exists \alpha' > 0 \text{ tal que } \forall u \in V \quad \sup_{\substack{v \in V \\ v \neq 0}} \frac{a(u, v)}{\| v \|_V} \geq \alpha' \| u \|_V$$

$$(iv) \quad \exists \alpha'' > 0 \text{ tal que } \forall v \in V \quad \sup_{\substack{u \in V \\ u \neq 0}} \frac{a(u, v)}{\| u \|_V} \geq \alpha'' \| v \|_V$$

Demonstração: Suficiência: ver J. NEČAS [19] e I. BABUŠKA [3]

Necessidade: ver B. DUPIRE (tese de doutorado, INF, PUC/RJ, [6]).

Obs: 1º) Se  $a$  é simétrica, isto é, se  $a(u, v) = a(v, u) \forall u, v \in V$  (iv)' e (iv)'' são equivalentes.

2º) Se  $a$  é coerciva então  $a$  é fracamente coerciva com

$$\alpha' = \alpha'' = \alpha:$$

$$\text{Dado } u \in V \quad \sup_{v \in V} \frac{a(u, v)}{\| v \|_V} \geq \frac{a(u, u)}{\| u \|_V} \geq \alpha \| u \|_V$$

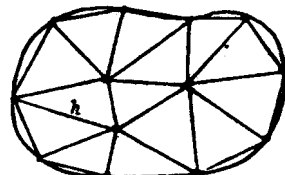
3<sup>a</sup>) No caso dos exemplos  $(P_1)$  e  $(P_2)$  prova-se a coercividade fraca de  $\underline{a}$  sobre o espaço  $V$  respectivo usando argumentos de Análise Matemática [17] e [31].

### 3. APROXIMAÇÃO POR ELEMENTOS FINITOS DE $(P)$

Introduzimos um subespaço  $V_h$  de  $V$ , de dimensão finita, associado a uma malha de  $\Omega$  de elementos finitos de diâmetro máximo  $h$ .

Assim em vez de resolvemos  $(P)$  resolvemos o problema aproximado

$$(P_h) \begin{cases} \text{Encontrar } u_h \in V_h \text{ tal que} \\ a(u_h, v_h) = L(v_h) \quad \forall v \in V_h \end{cases}$$



O problema fundamental é estudar o erro  $\| u - u_h \|_V$  dessa aproximação.

De acordo com resultados clássicos (p.ex.[ 4]), se  $\underline{a}$  é coerciva, temos:

$$(v) \quad \| u - u_h \|_V \leq \frac{\| a \|}{\alpha} \inf_{\substack{u \in V \\ u_h \in V_h}} \| u - v_h \|_V.$$

Infelizmente, a fraca coercividade não se estende a subespaços, e se

(iv)' e (iv)" são satisfeitas, é preciso provar que para cada escolha do subespaço  $V_h$ , condições análogas são satisfeitas, isto é:

$$(iv) \quad \exists \alpha'_h > 0 \text{ tal que } \forall u_h \in V_h \quad \sup_{v_h \in V_h} \frac{a(u_h, v_h)}{\| v_h \|_V} \geq \alpha'_h \| u_h \|_V.$$

$$(iv) \quad \exists \alpha''_h > 0 \text{ tal que } \forall v_h \in V_h \quad \sup_{u_h \in V_h} \frac{a(u_h, v_h)}{\| u_h \|_V} \geq \alpha''_h \| v_h \|_V.$$

Neste caso, foi provado por B. DUPIRE (tese de doutorado INF. PUC/RJ, [6]) que:

$$(v)' \quad \| u - u_h \|_V \leq \frac{\| a \|}{\alpha'_h} \inf_{\substack{u \in V \\ u_h \in V_h \\ v_h \neq 0}} \| u - v_h \|_V$$

Obs 1<sup>a</sup>) Se  $\underline{a}$  é coerciva a majoração clássica (v) se aplica.

2<sup>a</sup>) O termo  $\inf_{v_h \in V_h} \|u-v_h\|_Y$  é majorado por resultados

clássicos da teoria da aproximação polinomial em espaços de Sobolev, na dimensão  $n$ .

Obtem-se tipicamente estimativas da forma [ 4 ]

$$\inf_{v_h \in V_h} \|u-v_h\|_Y \leq C(u)h^\mu \quad \mu > 0$$

onde  $C(u)$  é uma constante independente de  $h$ , e  $\mu$  é um expoente positivo que depende da regularidade de  $u$  e do grau dos polinômios usados no espaço  $V_h$ .

#### 4. FORMULAÇÕES MISTAS

Um caso particular importante de problemas variacionais não coercivos é o de formulações mistas, como as do exemplo 29), isto é:

$$(Q) \quad \begin{cases} \text{Encontrar } (u, p) \in X \times M \quad \text{tal que} \\ c(u, v) + b(p, v) = F(v) \quad \forall v \in X \\ b(q, u) = G(q) \quad \forall q \in M, \text{ onde} \end{cases}$$

- $X$  e  $M$  são espaços de Hilbert com normas  $\|\cdot\|_X$  e  $\|\cdot\|_M$ .
- $c$  é uma forma bilinear contínua sobre  $X \times X$
- $b$  é uma forma bilinear contínua sobre  $M \times X$ , isto é:

$$\|b\| = \sup_{\substack{q \in M, v \in X \\ q, v \neq 0}} \frac{|b(q, v)|}{\|q\|_M \|v\|_X} < \infty$$

- $F \in X'$  e  $G \in M'$ .

Suponhamos que  $c$  seja simétrica. Aplicando o Teorema de Lax-Milgram generalizado, (Q) tem solução única se e só se:

$$\exists \alpha > 0 \text{ t.q. } \sup_{(u, p) \in X \times M} \frac{c(u, v) + b(p, v) + b(q, u)}{\left(\|v\|_X^2 + \|q\|_M^2\right)^{1/2}} \geq \alpha \left(\|u\|_X^2 + \|p\|_M^2\right)^{1/2}$$

Prova-se que tal condição equivale a:

• Condição LBB

$$(vi) \exists \beta > 0 \text{ tal que } \forall q \in M \sup_{\substack{v \in X \\ v \neq 0}} \frac{b(q, v)}{\|v\|_X} \geq \beta \|q\|_M$$

• Fraca coercividade de c sobre o espaço U,

onde  $U = \{v / v \in X, b(q, v) = 0 \quad \forall q \in M\}$ , isto é:

$$(vii) \exists \gamma > 0 \text{ tal que } \forall u \in U \sup_{\substack{v \in U \\ v \neq 0}} \frac{c(u, v)}{\|v\|_X} \geq \gamma \|u\|_X$$

Na maioria das aplicações (vii) é trivialmente satisfeita.

No Ex. 2<sup>a</sup>), por exemplo,  $c$  é coerciva sobre o espaço

$$= \{\vec{q} / \int_{\Omega} v \operatorname{div} \vec{q} = 0 \quad \forall v \in M\}, \text{ isto é } \vec{q} \in U \iff \operatorname{div} \vec{q} = 0$$

$$\text{Logo } c(\vec{q}, \vec{q}) = \int_{\Omega} |\vec{q}|^2 \geq \gamma \int_{\Omega} (|\vec{q}|^2 + |\operatorname{div} \vec{q}|^2) \quad \forall \vec{q} \in U \text{ com } \gamma = 1.$$

Por outro lado a condição (vi) é mais difícil de verificar, em geral.

## 5. ELEMENTOS FINITOS MISTOS

De forma natural aproxima-se o problema (Q) por elementos finitos mistos, isto é:

Dados dois subespaços  $X_h \subset X$  e  $M_h \subset M$  de dimensão finita associados à malha de  $\Omega$ , resolvemos:

$$(Q_h) \begin{cases} \text{Encontrar } (u_h, p_h) \in X_h \times M_h \text{ tal que} \\ c(u_h, v_h) + b(p_h, v_h) = F(v_h) \quad \forall v_h \in X_h \\ b(q_h, u_h) = G(q_h) \quad \forall q_h \in M_h \end{cases}$$

O problema  $(Q_h)$  não terá solução se a condição LBB-discreta não for satisfeita, isto é:

$$(vi)_h \exists \beta_h > 0 \text{ tal que } \forall q_h \in M_h \sup_{\substack{v_h \in X_h \\ v_h \neq 0}} \frac{b(q_h, v_h)}{\|v_h\|_X} \geq \beta_h \|q_h\|_M$$

Essa condição é equivalente à:

Condição de posto: A condição  $(v_i)_h$  é satisfeita se e só se o posto da matriz  $B$  de discretização de  $\underline{b}$  é exatamente a dimensão de  $M_h$ , onde

$$B = \{b(n_i, \phi_j)\}, \text{ sendo } \{n_i\}_{i=1}^{\dim M_h} \text{ e } \{\phi_j\}_{j=1}^{\dim X_h}$$

bases arbitrárias de  $M_h$  e  $X_h$  respectivamente.

Consequência: Condição LBB-discreta  $\implies \dim M_h \leq \dim X_h$

Obs: Na prática constata-se que é preciso que  $\frac{\dim X_h}{\dim M_h}$  não seja inferior a  $4/3$ .  $\square$

Pode-se provar que se  $\lim_{h \rightarrow 0} \frac{\dim X_h}{\dim M_h} \approx 1$  então forçosamente  $\lim_{h \rightarrow 0} B_h = 0$ .

Ora as seguintes estimativas de erro se aplicam para  $u_h$  e  $p_h$

$$\|u - u_h\|_X \leq \frac{C}{\beta_h} [\inf_{\substack{v_h \in X_h \\ v_h \neq 0}} \|u - v_h\|_X + \inf_{\substack{q_h \in M_h \\ q_h \neq 0}} \|p - q_h\|_M] \quad (*)$$

$$\|p - p_h\|_M \leq \frac{C'}{\beta_h} \|u - u_h\|_X \quad (**)$$

Logo se  $\lim_{h \rightarrow 0} \beta_h = 0$  o método poderá divergir em  $u$  e  $p$  ou pelo menos em  $p$ .

O caso mais favorável é aquele em que  $\beta_h$  independe de  $h$ .

## 6. ALGUNS CASOS EM ESTUDO COM ENFASE A MEIOS INCOMPRESSÍVEIS

Terminamos dando algumas aplicações da teoria apresentada que estão sendo considerados em nossas pesquisas atuais. Nesse quadro, a simulação do comportamento de meios in-

---

(\*) Ver B.DUPIRE, tese dout.PUC/RJ, [6] para estimativas finais de  $C$  e  $C'$ , constantes independentes de  $h$  se  $a$  é coerciva.

---

compressíveis ocupa um lugar de destaque.

### 6.1 - NOVOS ELEMENTOS PARA AS EQUAÇÕES DE STOKES

Como problema modelo básico para o estudo de meios incompressíveis (equações de Navier Stokes, elasticidade linear e não linear incompressível, etc.) vem-se procurando desenvolver novos elementos finitos mistos de tipo velocidade (deslocamento) - pressão para essas equações.

Sendo  $\Omega$  a região de  $\mathbb{R}^n$  de fronteira  $\Gamma$ ,  $n=2$  ou  $3$ , ocupada por um fluido de alta viscosidade  $\nu$ , sob a ação de um campo de forças  $\vec{f}$ , deseja-se encontrar a velocidade do fluido  $\vec{u}$  e a pressão nele reinante, tais que:

$$\begin{cases} -\nu \Delta \vec{u} + \vec{\nabla} p = \vec{f} \text{ em } \Omega \\ \operatorname{div} \vec{u} = 0 \quad \Omega \\ \vec{u} = \vec{0} \quad \text{sobre } \Gamma \end{cases}$$



Esse problema admite a formulação variacional simples:

$$(P_3) \quad \left\{ \begin{array}{l} \text{Encontrar } \vec{u} \in V = \{ \vec{v} / \vec{v} \in [H_0^1(\Omega)]^n \text{ com } \operatorname{div} \vec{v} = 0 \} \text{ t.q.} \\ \nu \int_{\Omega} \vec{\nabla} \vec{u} \cdot \vec{\nabla} \vec{v} = \int_{\Omega} \vec{f} \cdot \vec{v} \quad \forall \vec{v} \in V \end{array} \right.$$

No entanto, é muito difícil construir  $V_h \subset V$  com elementos finitos, razão pela qual usa-se a formulação mista (mais natural neste caso):

$$(Q_1) \quad \left\{ \begin{array}{l} \text{Encontrar } \vec{u} \in X \text{ e } p \in M \text{ tais que} \\ \nu \int_{\Omega} \vec{\nabla} \vec{u} \cdot \vec{\nabla} \vec{v} - \int_{\Omega} p \operatorname{div} \vec{v} = \int_{\Omega} \vec{f} \cdot \vec{v} \quad \forall \vec{v} \in X \\ \int_{\Omega} q \operatorname{div} \vec{u} = 0 \quad \forall q \in M \end{array} \right.$$

onde  $X = [H_0^1(\Omega)]^n$  e  $M = L_0^2(\Omega) = \{q / q \in L^2(\Omega), \int_{\Omega} q = 0\}$

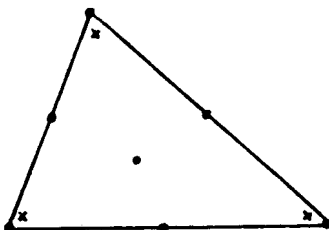
O problema  $(Q_h)$ , para ser bem colocado, tem que satisfazer a condição LBB-discreta, que neste caso é:

$$\exists \beta_h > 0 \text{ tal que } \forall q_h \in M_h \quad \sup_{\substack{\hat{v}_h \in X_h \\ \hat{v}_h \neq 0}} \frac{\int_{\Omega} q_h \operatorname{div} \hat{v}_h}{\|\hat{v}_h\|_X} \geq \beta_h \|q_h\|_M$$

Obs:  $a(\hat{u}, \hat{v}) = v \int_{\Omega} \hat{v} u \cdot \hat{v} \hat{v}$  é coerciva e logo a condição (vii) é trivialmente satisfeita ( $a=v$ ) .

Exemplos de elementos desenvolvidos e em teste atualmente

(2D)



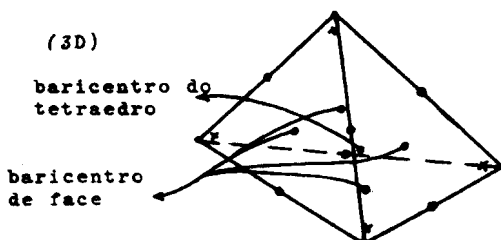
- Nô velocidade: quadrática contínua em soma direta com a bolha cúbica do triângulo

- Nô pressão: linear descontínua

CROUZEIX & RAVIART [5]

Recentemente B. DUPIRE introduziu a bolha quadrática do elemento para satisfazer exatamente a condição  $\operatorname{div} \hat{u}=0$  (ver [6]).

(3D)



- Nô velocidade: quadrática pseudo-contínua em soma direta com a bolha quártica do tetraedro.

- Nô pressão: linear descontínua.

V.R. [28]



Representa valor de  $\hat{v}_h$  nesse nó

aresta

$$0 \quad l \quad \text{Representa } \frac{9}{5l} \int_0^l \hat{v}_h ds = \frac{4}{3} \hat{v}_h(l/2)$$

Em ambos os casos  $\beta_h = O(1)$  e  $\|\hat{u}-\hat{u}_h\|_X + \|p-p_h\|_M = O(h^2)$

## 6.2 - EQUAÇÕES DA CONVEÇÃO-DIFUSÃO

Embora não se trate necessariamente de problema relativo a meios incompressíveis, essas equações são consideradas como etapa básica para a resolução numérica das equações de Navier-Stokes.

Sendo  $k$  o coeficiente de difusão de certo meio transportado com velocidade  $\vec{b}$  dada onde,

$$|\vec{b}| > > k$$

e sujeito à "força"  $f$  trata-se de encontrar a "distribuição"  $u$  que tal

$$\begin{cases} -k\Delta u + \vec{b} \cdot \vec{\nabla} u = f & \text{em } \Omega \\ u = 0 & \text{sobre } \Gamma \end{cases}$$

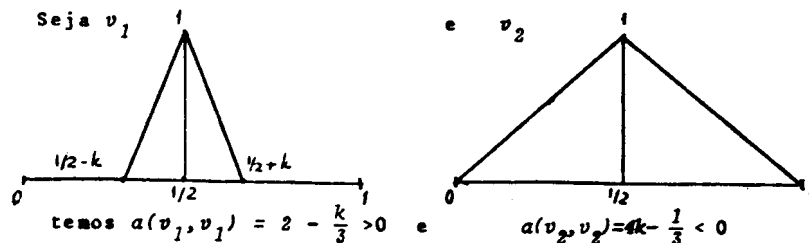
Colocada na forma variacional essa equação dá o problema:

$$(P_4) \quad \begin{cases} \text{Encontrar } u \in H_0^1(\Omega) \\ \text{tal que} \\ k \int_{\Omega} \vec{\nabla} u \cdot \vec{\nabla} v + \int_{\Omega} (\vec{b} \cdot \vec{\nabla} u) v = \int_{\Omega} fv & \forall v \in H_0^1(\Omega). \end{cases}$$

$$a(u, v) = k \int_{\Omega} \vec{\nabla} u \cdot \vec{\nabla} v + \int_{\Omega} (\vec{b} \cdot \vec{\nabla} u) v \text{ não é coerciva em geral.}$$

Exemplo em dimensão um:  $b = x$  e  $\Omega = (0, 1)$

$$a(v, v) = k \int_0^1 \left( \frac{dv}{dx} \right)^2 + \int_0^1 x \frac{dv}{dx} v = k \int_0^1 \left( \frac{dv}{dx} \right)^2 - \frac{1}{2} \int_0^1 v^2$$



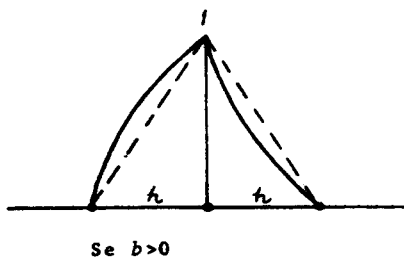
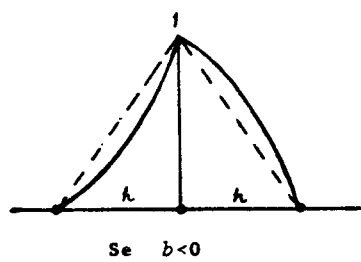
se  $k < 1/12$ .

É preciso encontrar aproximações que satisfaçam a fraca coercividade, donde os métodos corrente acima ("upwind finite element method"):

Estamos usando esquemas correntes acima diversos, notamment:

19) Esquemas de HEINRICH clássicos (ver por ex. [13])

Em dimensão 1: Perturbações exponenciais das funções de base dos elementos finitos lineares por pedaços como ilustrado abaixo:



29) Esquema de TABATA(1983). (Ver p.ex. anais do VII Congresso Nacional de Matemática Aplicada e Computacional, H. FIGUEROA, M. TABATA & V.R.,[7] )

Ambos estão sendo adaptados e usados conjuntamente com um elemento de quatro nós dito quasilinear assimétrico (V.R.[27]) em 2D, desenvolvido para o tratamento de meios incompressíveis, visando sua aplicação na resolução das equações de Navier-Stokes (ver a seguir).

#### 6.3 - EQUAÇÕES DE NAVIER-STOKES INCOMPRESSÍVEIS

Trata-se de encontrar um campo de velocidade  $\vec{u}$  e a pressão  $p$  de um fluido de viscosidade  $\nu$  tais que para um dado campo de forças  $\vec{f}$ :

$$\left\{ \begin{array}{l} -\nu \Delta \vec{u} + (\vec{u} \cdot \vec{\nabla}) \vec{u} + \vec{\nabla} p = \vec{f} \quad \text{em } \Omega \subset \mathbb{R}^n \quad n = 2 \text{ ou } 3 \\ \operatorname{div} \vec{u} = 0 \quad \text{em } \Omega \\ \vec{u} = \vec{0} \quad \text{sobre } \Gamma \end{array} \right.$$

Problema variacional misto:

$$(Q_1) \quad \left\{ \begin{array}{l} \text{Encontrar } \vec{u} \in [H_0^1(\Omega)]^n \text{ e } p \in L_0^2(\Omega) \text{ tais que} \\ v \int_{\Omega} \vec{v} \cdot \vec{\nabla} \vec{u} + \int_{\Omega} (\vec{u} \cdot \vec{v}) \vec{u} \cdot \vec{v} - \int_{\Omega} p \operatorname{div} \vec{v} = \int_{\Omega} f \cdot \vec{v} \quad \forall \vec{v} \in [H_0^1(\Omega)]^n \\ \int_{\Omega} q \operatorname{div} \vec{u} = 0 \quad \forall q \in L_0^2(\Omega). \end{array} \right.$$

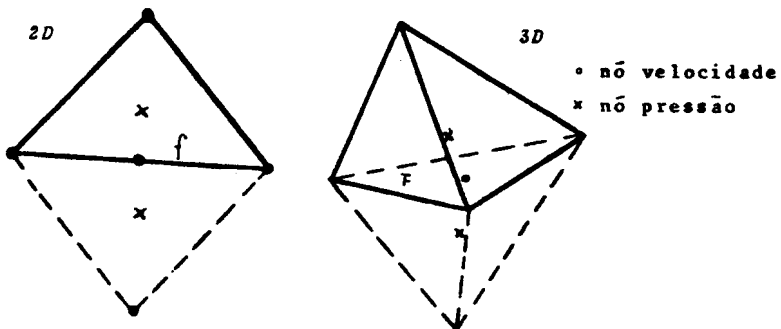
Algoritmo de linearização em uso (M.CROUZEIX [10]):  
Dado  $\vec{u}^0$ , encontrar  $\vec{u}^m$  e  $p^m$  aproximações de  $\vec{u}$  e  $p$ ,  $m=1, 2, \dots, t, q$

$$(Q_m) \quad \left\{ \begin{array}{l} v \int_{\Omega} \vec{v} \cdot \vec{\nabla} \vec{u}^m + \int_{\Omega} (\vec{u}^{m-1} \cdot \vec{v}) \vec{u}^m \cdot \vec{v} - \int_{\Omega} p^m \operatorname{div} \vec{v} = \int_{\Omega} f \cdot \vec{v} \quad \forall \vec{v} \in [H_0^1(\Omega)]^n \\ \int_{\Omega} q \operatorname{div} \vec{u}^m = 0 \quad \forall q \in L_0^2(\Omega) \end{array} \right.$$

A resolução de  $(Q_m)$  envolve duas dificuldades básicas:

- 1º) As da equação da convecção-difusão se  $Re = v^{-1} > > 1$ .
- 2º) As do problema de Stokes: trabalhar com métodos de elementos finitos mistos velocidade-pressão confiáveis (cond. LBB), convergentes e econômicos.

Estamos combinando as técnicas corrente acima de HEINRICH e TABATA a métodos de elementos finitos em 2D e 3D do tipo quasilineares assimétricos<sup>(\*)</sup> para a velocidade e pressão constante, por triângulo ou tetraedro (V.R. 1981 [26])

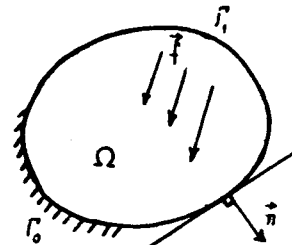


(\*) Função linear sobre os lados (ou faces) dos elementos exceto o lado  $f$  (face  $F$ ) onde tem uma componente quadrática (cúbica).

A condição LBB-discreta é satisfeita para malhas criteriosamente construídas [ 26 ]. Partindo de um "solver" de Stokes construimos "solvers" de Navier-Stokes. Em 2D já está funcionando bem para números de Reynolds ( $Re$ ) moderados.

#### 6.4 - PROBLEMAS DE VISCOELASTICIDADE INCOMPRESSÍVEL COM COEFICIENTES DEPENDENTES DO TEMPO

Uma das aplicações industriais relativas a meios incompressíveis que está sendo considerada atualmente diz respeito a certos polímeros de comportamento viscoelástico. O problema em estudo é descrito por um modelo de Kelvin-Voigt como se segue:



Seja  $\Omega$  corpo viscoelástico fixo em parte  $\Gamma_0$  de seu bordo. Sendo  $\vec{f}$  a carga à qual está submetido tem-se, para pequenos deslocamentos:

$$\rho \frac{\partial \vec{u}}{\partial t^2} - \operatorname{div} \vec{\sigma} + \vec{\nabla} p = \vec{f} \text{ em } \Omega \text{ (eq. do equilíbrio)}$$

$$\vec{\sigma} = \frac{2}{3} E \vec{\epsilon}(\vec{u}) + \nu \frac{\partial \vec{\epsilon}(\vec{u})}{\partial t} \text{ (lei constitutiva)}$$

$$\operatorname{div} \vec{u} = 0 \quad (\text{incompressibilidade})$$

$$\vec{u}(x, 0) = \vec{u}_0(x), \frac{\partial \vec{u}}{\partial t}(x, 0) = \vec{u}_1(x) \quad (\text{cond. iniciais})$$

$$\vec{u} = \vec{0} \quad \text{sobre } \Gamma_0$$

$$\sigma \cdot \vec{n} - p \vec{n} = 0 \text{ sobre } \Gamma_1$$

onde:

$\vec{u}$  : deslocamento

$p$  : pressão

$\sigma$  : tensor desviador de tensões

$\epsilon(\vec{u})$ : tensor de deformações ,  $\epsilon_{ij}(\vec{u}) = \frac{1}{2} \left( \frac{\partial u_i}{\partial x_j} + \frac{\partial u_j}{\partial x_i} \right)$

$E$  : módulo de elasticidade

$\nu$  : viscosidade cinemática } dependem do tempo

$\rho$  : densidade

Aproximação no tempo

Dado  $\Delta t > 0$  e  $\vec{u}^0(x)$  calculamos  $\vec{u}^m$ ,  $\sigma^m$ ,  $p^m$  aproximações de  $\vec{u}$ ,  $\sigma$  e  $p$  no instante  $m\Delta t$  por

$$\rho \frac{\vec{u}^m - 2\vec{u}^{m-1} + \vec{u}^{m-2}}{\Delta t^2} - \operatorname{div} \sigma^m + \vec{p}^m = \vec{f}_m$$

$$\sigma^m = \frac{2}{3} E_m \epsilon(\vec{u}^m) + v_m \frac{\epsilon(\vec{u}^m) - \epsilon(\vec{u}^{m-1})}{\Delta t}$$

$$\operatorname{div} \vec{u}^m = 0$$

$$\vec{u}^m = \vec{0}$$

$$\sigma^m \cdot \vec{n} - p^m \vec{n} = \vec{0}$$

onde  $E_m = E(m\Delta t)$ ,  $v_m = v(m\Delta t)$  e  $\vec{f}_m(x) = \vec{f}(x, m\Delta t)$

Formulação variacional:

Por simplicidade chamamos  $\sigma^m$ ,  $\vec{u}^m$  e  $p^m$  de  $\sigma$ ,  $\vec{u}$  e  $p$ :

Encontrar  $\vec{u} \in X$ ,  $\sigma \in S$  e  $p \in M$  tais que

$$\frac{\rho}{\Delta t^2} \int_{\Omega} \vec{u} \cdot \vec{v} + \int_{\Omega} \sigma \cdot \epsilon(\vec{v}) - \int_{\Omega} p \operatorname{div} \vec{v} = \int_{\Omega} (\vec{f} + \vec{f}') \cdot \vec{v} \quad \forall \vec{v} \in X$$

$$u \int_{\Omega} \sigma \cdot \tau - \int_{\Omega} \epsilon(\vec{u}) \cdot \tau = \int_{\Omega} G \cdot \tau \quad \forall \tau \in S$$

$$\int_{\Omega} q \operatorname{div} \vec{u} = 0 \quad \forall q \in M, \text{ onde:}$$

$$= \{\vec{v} / \vec{v} \in [H^1(\Omega)]^3, \vec{v} = \vec{0} \text{ sobre } \Gamma_0\}, M = L^2(\Omega)$$

$$= [L^2(\Omega)]^{3 \times 3}, u^{-1} = \left( \frac{2}{3} E_m + \frac{v_m}{\Delta t} \right); \vec{f}'_1 = \frac{2\vec{u}^{m-1} - \vec{u}^{m-2}}{\Delta t^2}; G = \frac{-v_m}{\Delta t} \epsilon(\vec{u}^{m-1}).$$

É interessante conservar as três variáveis por causa da dependência temporal de  $E$  e  $v$ , (ver anais de VII CNMAC , V.R. & G.M.E.Q. ACQUADRO [ 1 ]) evitando-se a inversão de mais de uma matriz ao longo do tempo. Neste caso é preciso encontrar métodos de elementos finitos mistos com 3 variáveis que satisfaçam:

Sendo  $X_h \subset X$ ,  $S_h \subset S$  e  $M_h \subset M$  os espaços de aproximação de cada variável, associados à dada malha de  $\Omega$  devemos ter:

$$\exists \beta'_h > 0 \text{ tal que } \forall \vec{v}_h \in X_h \sup_{\tau_h \in S_h} \frac{\int_{\Omega} \tau_h \cdot \epsilon(\vec{v}_h)}{\|\tau_h\|_S} \geq \beta'_h \|\vec{v}_h\|_X$$

$$\exists \beta''_h > 0 \text{ tal que } \forall q_h \in M_h \sup_{\vec{v}_h \in X_h} \frac{\int_{\Omega} q_h \operatorname{div} \vec{v}_h}{\|\vec{v}_h\|_X} \geq \beta''_h \|q_h\|_M$$

As duas condições LBB-discretas acima são contraditórias se se deseja trabalhar com conjuntos  $S_h$  e  $M_h$  do mesmo tipo, o que é a escolha fisicamente natural e numericamente ótima.

Essa dificuldade foi resolvida em 2D, tomando-se para  $X_h$  o espaço correspondente ao triângulo quasilinear assimétrico de quatro nós.

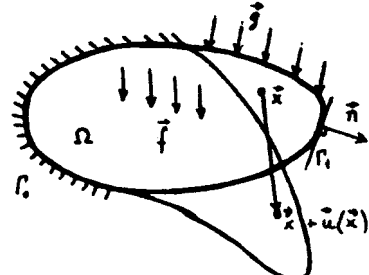
Obs: 1<sup>a</sup>) Detalhes sobre os espaços  $S_h$  ( $M_h$ ) associados a tal  $X_h$  encontram-se em artigo em preparação [24].

2<sup>a</sup>) Programas utilizando essa metodologia foram desenvolvidos para o estudo do comportamento de certos polímeros para a Pirelli Cia. Ind. Bras.

3<sup>a</sup>)  $\beta'_h$  e  $\beta''_h$  independem de  $h$  donde a convergência  
 $\vec{u}_h \longrightarrow \vec{u}$ ,  $p_h \longrightarrow p$  e  $\sigma_h \longrightarrow \sigma$  em  $X \times S \times M$ .

#### 6.5 - PROBLEMAS DE ELASTICIDADE NÃO LINEAR INCOMPRESSÍVEL

Uma simulação numérica particularmente delicada que vem sendo considerada em nossas pesquisas se refere aos meios hiperelásticos com características de incompressibilidade. O problema pode ser descrito da maneira seguinte.



Dado um sólido hiperelástico  $\Omega \subset \mathbb{R}^3$  fixado numa parte  $\Gamma_0$  de sua fronteira, submetido a forças volumétricas  $f$  e superficiais  $\vec{g}$  deseja-se calcular o campo de grandes deslocamentos  $\vec{u}$  resultante. Este é um mínimo local da energia potencial elástica  $W$ , isto é:

$$W(\vec{u}) = \min W(\vec{v})$$

$$\det(I + \vec{\nabla} \vec{v}) = 1$$

$$\vec{v} \in X$$

$\det(I + \vec{\nabla} \vec{v}) = 1$ , onde  $I$  é o tensor unitário, é a

Condição de incompressibilidade não linear para problemas com grandes deformações:  $|\vec{\nabla} \vec{u}| > > 0$ .

Materiais de Mooney - Rivlin, por exemplo, se enquadram nesse caso, para os quais:

$$W(\vec{v}) = \frac{E_1}{2} \int_{\Omega} (|I + \vec{\nabla} \vec{v}|^2 - 3) + \frac{E_2}{2} \int_{\Omega} (\det(I + \vec{\nabla} \vec{v}))^2 - 3) - \int_{\Omega} \vec{f} \cdot \vec{v} - \int_{\Gamma_1} \vec{g} \cdot \vec{v}$$

$E_1, E_2$ ; constantes de Mooney ( $E_2=0$  no caso de deformações planas).

$\text{adj } A$  = transporta da matriz de menores de  $A$ .

Caso típico: Borracha, elastômeros.

Equações do equilíbrio (caso plano)

$$-E_1 \Delta \vec{u} + \operatorname{div} \vec{v} p \operatorname{adj}^T(I + \vec{\nabla} \vec{u}) = \vec{f} \text{ em } \Omega$$

$$\det(I + \vec{\nabla} \vec{u}) = 1 \text{ em } \Omega$$

$$\vec{u} = \vec{0} \text{ sobre } \Gamma_0$$

$$E_1 \left( \frac{\partial \vec{u}}{\partial \vec{n}} + \vec{n} \right) - p \operatorname{adj}^T(I + \vec{\nabla} \vec{u}) \vec{n} = \vec{g} \text{ sobre } \Gamma_1$$



$$p: \text{pressão hidrostática e } \frac{\partial \vec{u}}{\partial \vec{n}} = \vec{\nabla} u \cdot \vec{n}$$

Formulação variacional

$$(Q_2) \quad \begin{cases} \text{Encontrar } \vec{u} \in X = \{\vec{v}/\vec{v} \in [H^1(\Omega)]^2, \vec{v} = \vec{0} \text{ sobre } \Gamma_0\} \\ \text{e } p \in M = L^\infty(\Omega) = \{q / \sup_{x \in \Omega} |q(x)| < \infty\} \text{ t.q.} \\ E_1 \int_{\Omega} \vec{\nabla} \vec{u} \cdot \vec{\nabla} \vec{v} - \int_{\Omega} p \operatorname{adj}(I + \vec{\nabla} \vec{u}) \cdot \vec{v} = \int_{\Omega} \vec{f} \cdot \vec{v} - E_1 \int_{\Omega} \operatorname{div} \vec{v} \quad \forall \vec{v} \in X \\ \int_{\Omega} q \det(I + \vec{\nabla} \vec{u}) = \int_{\Omega} q \quad \forall q \in M \end{cases}$$

Um bom método de elementos finitos de resolução de  $(\tilde{Q}_2)$  deve satisfazer as condições seguintes:

Seja  $X_h \subset X$  e  $M_h \subset M$ .

1<sup>a</sup>) A condição LBB-discreta não linear (P. LE TALLEC, 1980[16])

$$\exists \beta(\vec{u}) > 0 \text{ t.q. } \forall q_h \in M_h \sup_{\substack{v_h \in X_h \\ \vec{v}_h \neq 0}} \frac{\int_{\Omega} q_h \operatorname{adj}^T(I + \vec{v}_h) \cdot \vec{v}_h}{\|q_h\|_M \|v_h\|_X} \geq \beta(\vec{u})$$

onde  $\vec{u}$  é associada à uma solução do problema de minimização original.

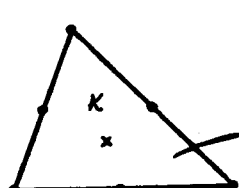
Essa condição implica nas mesmas restrições sobre  $X_h$  e  $M_h$  que no caso linear (eq. Stokes por exemplo), só que é mais difícil determinar  $\beta_h$ . Isto implica que  $\dim X_h > \dim M_h$ ,  $\forall h$ .

2<sup>a</sup>)  $\dim X_h$  não deve ser muito maior do que  $\dim M_h$ , do contrário os elementos podem "virar ao avesso" em estado de formado.

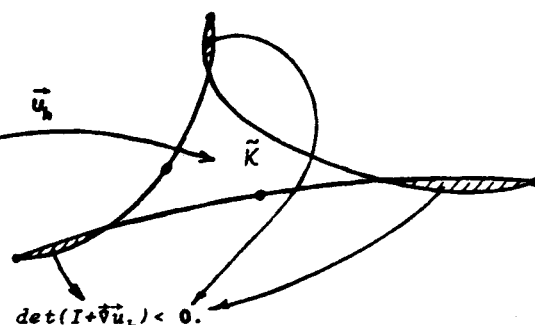
Ex:  $X_h$  : quadrático por triângulo

$M_h$  : Constante por triângulo

configuração inicial



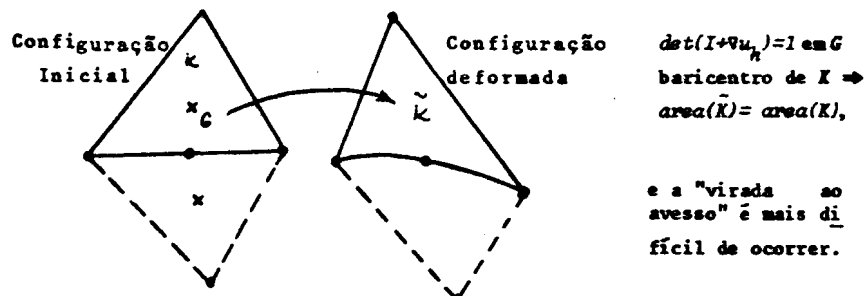
configuração deformada



Esse par de espaços satisfaz a condição LBB, mas  $\dim X_h \neq \dim M_h$  e a condição de incompressibilidade só se satisfaz no sentido

$$\text{area}(\tilde{K}) = \int_K \det(I + \tilde{\nabla} u_h) = \int_K 1 = \text{area}(K), \text{ mas localmente é possível que } \det(I + \tilde{\nabla} u_h) < 0!$$

Os elementos quasilineares assimétricos [26] representam uma alternativa equilibrada para superar ambas as dificuldades:

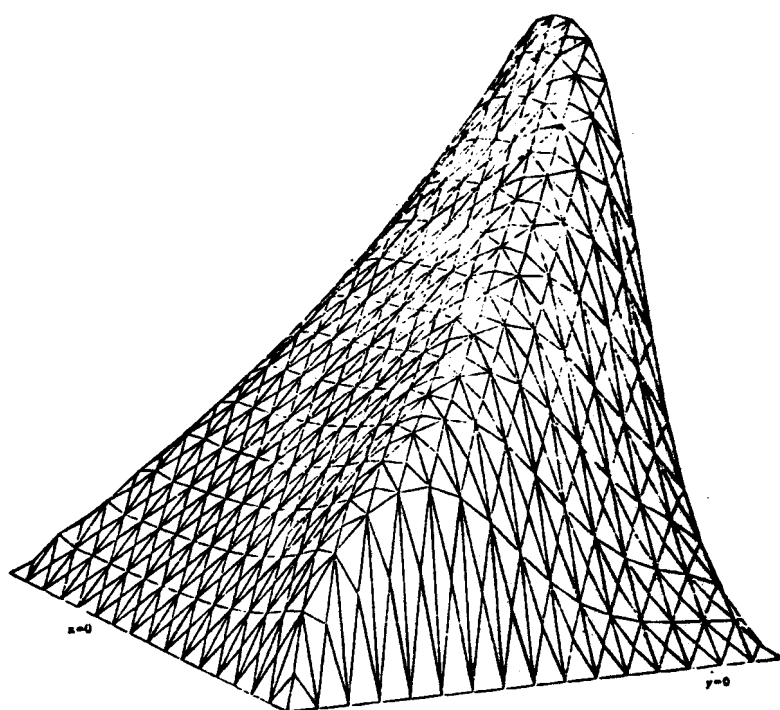


- Um código 2D foi desenvolvido para peças axisimétricas usando um algoritmo de Lagrangeano Aumentado (GLOWINSKI & LE TALLEC [10] e [12]).
- Um código 3D puro encontra-se em estado avançado, usando o mesmo tipo de algoritmo e os elementos assimétricos de 5 nós tetraédricos (ver eq. Navier-Stokes).

- Obs:
- 1<sup>a</sup>) Novos elementos assimétricos mais econômicos foram desenvolvidos recentemente para o caso 3D.
  - 2<sup>a</sup>) Testes para problemas modelo de solução analítica conhecida confirmam a eficiência dos métodos e dos códigos.
  - 3<sup>a</sup>) Recentemente o código 2D foi testado com sucesso em casos práticos encontrados na indústria de amortecedores.

7 - ILUSTRAÇÕES DE ALGUNS RESULTADOS OBTIDOS

Para finalizar apresentamos ilustrações de soluções obtidas com a metodologia descrita para alguns problemas-módelo correspondentes aos parágrafos 6.2 e 6.5.

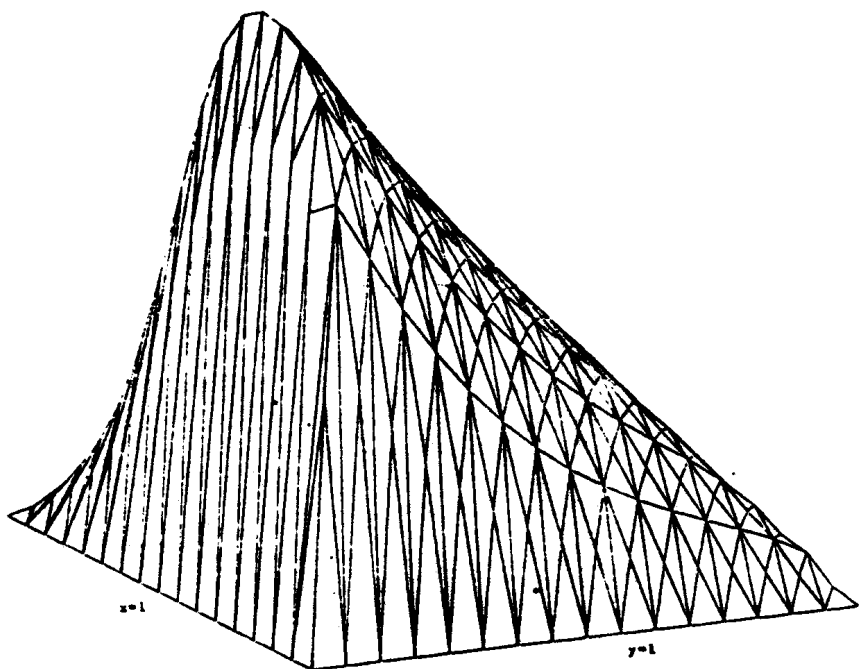


Vista da solução da equação da convecção-difusão.

$$k = 10^{-3} \quad \text{e} \quad \vec{v} = (y, 1/2 - x) .$$

- Esquema de TABATA

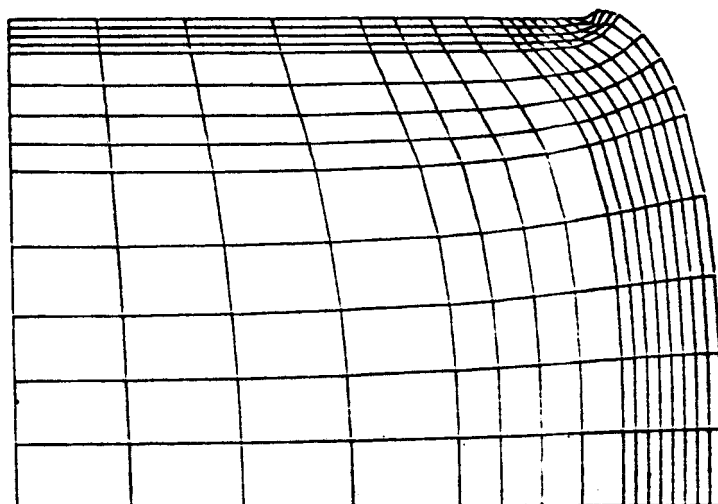
- Elemento triangular assimétrico de 4 nós.



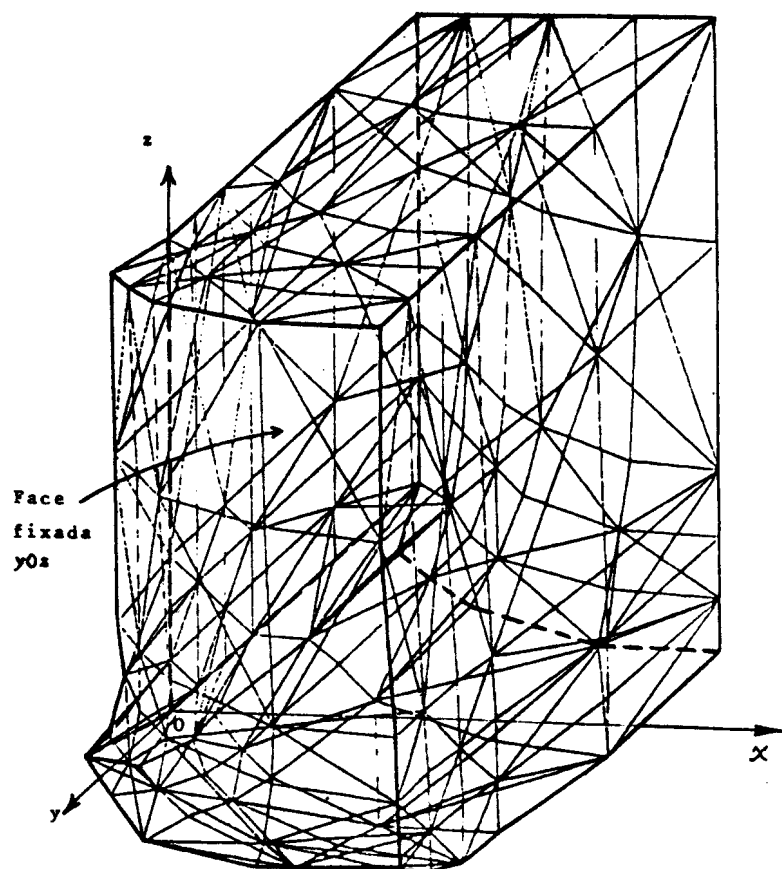
Vista da camada limite da solução  
da equação da convecção-difusão com:

$$k = 10^{-3} \quad \text{e} \quad \vec{b} = (y, 1/2-x).$$

- Esquema da TABATA
- Elemento triangular assimétrico  
de 4 nós.



Vista de 1/4 da seção meridiana de um cilindro de borracha  
deformado por uma compressão axial de 30%.  
- Elemento triangular assimétrico de 4 nós [25]  
- Algoritmo de Lagrangeano aumentado [11].



Vista de 1/8 de um cubo de borracha em  
estado deformado por uma compressão de  
40% na direção x.

- Elemento tetraédrico assimétrico de [4]  
nós 26
- Algoritmo de Lagrangeano aumentado [16]

REFERÉNCIAS

- [1] G.M.E.ACQUADRO & V.RUAS, Resolução numérica de um problema de viscoelasticidade via elemento finitos mistos com penalização, Anais do VII Congresso de Matemática Aplicada e Computacional, Campinas, 1984.
- [2] R.A. ADAMS, Sobolev Spaces, Academic Press, N.Y. , 1975
- [3] I. BABUŠKA, Error Bounds for finite element methods Numer. Math., 16, pp. 322-333, 1971.
- [4] P.G. CIARLET, The finite element method for elliptic problems, North Holland, Amsterdam, 1978.
- [5] M. CROUZEIX & P.A. RAVIART, Conforming and nonconforming finite element methods for solving stationary Stokes equations, RAIRO, R-3, pp. 33-76, 1973.
- [6] B. DUPIRE, Problemas Variacionais, sua Aproximação e Formulações Mistas, Tese de doutoramento em Informática, PUC/RJ, em impressao.
- [7] H. FIGUEROA, V. RUAS, M. TABATA, Novo método de elementos finitos corrente acima para equações da convecção difusão em escoamentos incompressíveis, Anais do VII Congresso de Matemática Aplicada e Computacional, Campinas, 1984.
- [8] P.GERMAIN, Cours de Mécanique des Milieux Continus , Masson, Paris, 1973.
- [9] V.GIRAUDET P.A. RAVIART, Finite Element Approximation of the Navier-Stokes Equations, Lecture Notes , Springer Verlag, Heidelberg, 1979.
- [10] R. GLOWINSKI & M.FORTIN, Méthodes de Lagrangien Augmenté, Dunod, Paris, 1982.
- [11] R.GLOWINSKI & P.LE TALLEC, Numerical solution of problems in incompressible finite elasticity by augmented lagrangian methods, SIAM J. Appl. Math., Vol. 42, Nº 2, pp. 400-429, 1982.

- [12] R.GLOWINSKI, P.LE TALLEC& V. RUAS, Approximate solution of nonlinear problems in incompressible finite elasticity, in Nonlinear Finite Element Analysis in Structural Mechanics, Ed. W. Wunderlich, E.Stein, K. J. Bathe, Springer Verlag, Berlin, 1981.
- [13] J.C. HEINRICH, P.S. HUYAKORN, O.C. ZIENKIEWICZ & A.R. MITCHELL, An upwind finite element scheme for 2D convective transport equations, Int. J. Numer. Meths. Eng. v. 11, p. 131-143, 1977.
- [14] T.IKEDA, Maximum Principle in Finite Element Models for convection-Diffusion Phenomena, Kinokuniya , Tokyo, 1983.
- [15] P.LE TALLEC & V. RUAS, On the convergence of the bilinear velocity- constant pressure finite element method in viscous flow problems, Comp. Meth. Appl. Mech. Engin., em impressão.
- [16] P. LE TALLEC, Les problèmes d' équilibre d'un corps hyperélastique incompressible en grandesdeformations, Thèse doctorat d'Etat, Univ. Paris VI, 1981.
- [17] J.L. LIONS & E. MAGENES, Problèmes aux limites non homogènes, Dunod, Paris, 1968.
- [18] M. MOONEY, Jour Appl. Phys. 11, p. 583-, 1940
- [19] J.NEČAS, Sur une méthode pour résoudre des équations aux dérivées partielles du type elliptique voisine de la variationnelle, Ann. Sc. Norm. Sup. Pisa, Ser. III, 16,4, pp. 305-326, 1962.
- [20] J.T. ODEN & REDDY, J.N., Introduction of the Mathematical Theory of Finite Elements, John Wilwy, N.Y. 1976.
- [21] R.S. RIVLIN, Large Elastic Deformations of isotropic materials, Phil. Trans. R. Soc., A, 241, p. 379 , 1948.
- [22] P.A. RAVIART & J.M. THOMAS, Une Introduction à l'Analyse Numérique des Equations aux Dérivées Partielles, Masson, Paris 1983.

- [23] V. RUAS, *Introdução aos Problemas Variacionais*, Ed. Guanabara Dois, Rio de Janeiro, 1979
- [24] ——, Consistent stress-displacement finite element simulation of incompressible viscoelastic behavior, a sair.
- [25] ——, A class of asymmetric simplicial finite element methods for solving finite incompressible elasticity problems, *Comp. Meth. Appl. Mech. Engin.*, 27-3, pp. 319-343, 1981.
- [26] ——, Méthodes d'éléments finis en élasticité incompressible non linéaire et diverses contributions à l'approximation des problèmes aux limites, Thèse de Doctorat d'Etat, Université Paris VI, 1982.
- [27] ——, Méthodes d'éléments finis quasolinéaires en déplacements pour l'étude de milieux incompressible , *RAIRO-Analyse Numérique*, 17-2, p. 161-194, 1983.
- [28] ——, Finite element solution of 3D viscous flow problems using non standard degrees of freedom, Japan Jour. Appl. Maths., em impressão
- [29] M. TABATA,  $L^{\infty}$  analysis of the finite element method, Lecture Note in Num. Appl. Anal. Kinokuniya, 1 , pp. 25-62, 1979
- [30] R. TEMAM, *Navier-Stokes Equations*, North-Holland, Amsterdam, 1977.
- [31] J.M. THOMAS, Sur l'analyse numérique des méthodes d'éléments finis hybrides et mixtes, Thèse de Doctorat d'Etat, Univ. Paris VI, 1977.
- [32] F. THOMASSET, *Implementation of Finite Element Methods for Navier- Stokes Equations*, Springer-Verlag, N.Y. 1981.